

УДК 539.375

ЦЕНТРАЛЬНАЯ ПОПЕРЕЧНАЯ ТРЕЩИНА В ОРТОТРОПНОЙ УПРУГОЙ ПОЛОСЕ

А. И. ЗОБНИН, Е. В. ЛОМАКИН

(Москва)

Широкое использование в конструкциях элементов из анизотропных материалов приводит к необходимости изучения поведения этих элементов при нагрузках, близких к критическим. Для подобных исследований необходимо знать зависимость коэффициента интенсивности напряжений K_1 от относительных размеров тела, включая и длину трещины (K -тарировка) при различных видах нагружения. В данной работе получена тарировочная зависимость для растяжения полосы ширины $2b$ с центральной поперечной трещиной длины $2l$, противоположные берега которой загружены равными и противоположно направленными нагрузками $p(x)$.

В изотропном случае существует ряд решений подобной задачи [1-5].

В [3] использовался метод разложения комплексных потенциалов Колосова — Мусхелишвили в ряды по степеням $\lambda = l/b$. В [4] применялся метод интегральных преобразований, сводящий решение исходной задачи к решению интегрального уравнения Фредгольма второго рода, разложение ядра которого по степеням λ приводит к рекуррентному соотношению, позволяющему последовательно вычислять точные коэффициенты ряда $K_1(\lambda)$. В [5] предложено в качестве первого приближения взять решение задачи о бесконечном теле с периодической системой трещин, у которых смещение берегов считается заданным. Возникающие невязки в граничных условиях на кромках полосы ликвидируются наложением соответствующего решения задачи о ненадрезанной полосе. Требование того, чтобы сумма вкладов от этих двух решений в нормальное напряжение на берегах трещины равнялась $-p(x)$, приводит к сингулярному интегральному уравнению относительно смещения берегов трещины.

Численное решение задачи о центральной поперечной трещине в пластинке конечной длины $2L$ [6-10] показало, что при $L > 2b$ влияние границ, параллельных трещине, на величину K_1 весьма мало и решение хорошо согласуется с решением задачи о бесконечной полосе.

Известно, что в бесконечном ортотропном теле с системой коллинеарных трещин, загруженных по берегам самоуравновешенными нагрузками, коэффициенты интенсивности напряжений вблизи концов трещин будут такими же, как в изотропном случае [7]. Решение задачи о достаточно длиной пластинке ($L \sim 3b$) из существенно ортотропного материала также показывает, что влияние анизотропии на K_1 незначительно [7]. Подобного вывода для короткой пластинки ($L \sim b$) сделать нельзя [7, 9].

В связи со сказанным возникает вопрос о пределах применимости изотропной K -тарировки для полосы из анизотропного материала. Авторами построена тарировочная зависимость для ортотропной полосы с центральной поперечной трещиной. В качестве метода решения использовалась некоторая комбинация методов, примененных в работах [4, 5].

1. Рассмотрим полосу (фиг. 1) $-b \leq x \leq b$, $-\infty < y < +\infty$ с трещиной $-l < x < l$, $y=0$. Предположим, что оси ортотропии параллельны осям Ox и Oy . В этом случае напряженное состояние описывается [11] двумя аналитическими функциями $\Phi_1(z_1)$ и $\Phi_2(z_2)$, где $z_1 = x + \mu_1 y$, $z_2 = x + \mu_2 y$. Параметры μ_1 , μ_2 , $\bar{\mu}_1$, $\bar{\mu}_2$ являются корнями характеристического уравнения

$$\beta_{11}\mu^4 + (2\beta_{12} + \beta_{66})\mu^2 + \beta_{22} = 0$$

где $\beta_{ij} = a_{ij} - a_{i3}a_{j3}a_{33}^{-1}$ при плоской деформации и $\beta_{ij} = a_{ij}$ — при плоском напряженном состоянии (a_{ij} — коэффициенты деформации).

Пусть корни характеристического уравнения чисто мнимые и различные, т. е. $\mu_1 = i\beta_1$, $\mu_2 = i\beta_2$ и $\beta_2 > \beta_1 > 0$. Это условие выполняется для большинства реальных материалов [11].

Границные условия задачи имеют вид

$$(1.1) \quad \sigma_y(x, 0) = -p(x), \quad \tau_{xy}(x, 0) = 0, \quad |x| < l$$

$$(1.2) \quad \sigma_x(\pm b, y) = \tau_{xy}(\pm b, y) = 0, \quad -\infty < |y| < +\infty$$

В дальнейшем предполагается, что $p(x) = p(-x)$. В силу симметрии задачи относительно оси Ox к граничным можно добавить следующие условия:

$$\tau_{xy}(x, 0) = 0, \quad |x| \leq b$$

$$v(x, 0) = 0, \quad l < |x| \leq b$$

Обозначим вертикальные смещения берегов разреза

$$(1.3) \quad v(x, \pm 0) = \pm f(x), \quad |x| < l \quad (f(x) = f(-x))$$

Решение исходной задачи (1.1), (1.2) построим как сумму решений двух задач [5]:

1. $\sigma_{ij}^{(1)}, v_i^{(1)}$ — решение задачи о бесконечном теле с трещиной, на берегах которой заданы смещения (1.3) и отсутствуют сдвиговые напряжения (1.1).

2. $\sigma_{ij}^{(2)}, v_i^{(2)}$ — решение задачи о ненадрезанной полосе с заданными на кромках $x = \pm b$ напряжениями, определяемыми из решения задачи 1.

$$(1.4) \quad \sigma_x^{(2)}(\pm b, y) = -\sigma_x^{(1)}(\pm b, y)$$

$$\tau_{xy}^{(2)}(\pm b, y) = -\tau_{xy}^{(1)}(\pm b, y)$$

В силу симметрии задач 1 и 2 относительно оси Ox

$$\tau_{xy}^{(2)}(x, 0) = 0$$

$$v^{(2)}(x, 0) = 0, \quad |x| \leq b$$

Потребуем, чтобы на берегах трещины выполнялось условие

$$(1.5) \quad \sigma_y^{(1)}(x, 0) + \sigma_y^{(2)}(x, 0) =$$

$$= -p(x), \quad |x| < l$$

Тогда $\sigma_{ij} = \sigma_{ij}^{(1)} + \sigma_{ij}^{(2)}$, $v_i = v_i^{(1)} + v_i^{(2)}$

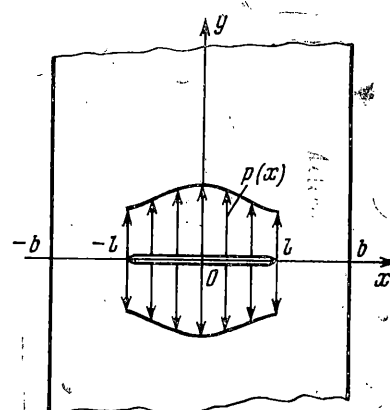
будет решением исходной задачи (1.1), (1.2).

Построим решение задачи 1. В силу симметрии можно ограничиться рассмотрением нижней полуплоскости. Граничные условия в этом случае имеют вид

$$\tau_{xy}(x, 0) = 0, \quad -\infty < x < +\infty, \quad v(x, 0) = \begin{cases} -f(x), & |x| < l \\ 0, & |x| > l \end{cases}$$

Данная задача приводится [12] к частному случаю задачи Римана — Гильберта для функции

$$w_1(z) = \int_{-\infty}^{+\infty} \frac{\sigma_y(\xi, 0) d\xi}{\xi - z}$$



Фиг. 1

с граничным условием

$$\operatorname{Re} w_1(x-i0) = \begin{cases} -\pi\beta_1\beta_2 f'(x) / (\beta_1+\beta_2)\beta_{22}, & |x| < l \\ 0, & |x| > l \end{cases}$$

Решением этой задачи служит функция

$$(1.6) \quad w_1(z) = -\frac{i\beta_1\beta_2}{(\beta_1+\beta_2)\beta_{22}} \int_{-l}^l \frac{f'(\xi) d\xi}{\xi-z}$$

Напряжение σ_y на оси $y=0$ найдем, применив к (1.6) формулу Сохоцкого — Племеля

$$(1.7) \quad \sigma_y^{(1)}(x, 0) = \frac{\beta_1\beta_2}{\pi(\beta_1+\beta_2)\beta_{22}} \int_{-l}^l \frac{f'(\xi) d\xi}{\xi-x}$$

Величины $\sigma_x^{(1)}(\pm b, y)$ и $\tau_{xy}^{(1)}(\pm b, y)$, необходимые для определения граничных условий (1.4) задачи 2, получим, выразив по известным формулам [12] через функцию $w_1(z)$ сначала комплексные потенциалы $\Phi_1(z_1)$ и $\Phi_2(z_2)$, а затем напряжения σ_x и τ_{xy}

$$(1.8) \quad \begin{aligned} \Phi_1'(z_1) &= \beta_2 [2\pi i(\beta_2-\beta_1)]^{-1} w_1(z_1) \\ \Phi_2'(z_2) &= -\beta_1 [2\pi i(\beta_2-\beta_1)]^{-1} w_2(z_2) \end{aligned}$$

$$(1.9) \quad \begin{aligned} \sigma_x &= -2\operatorname{Re}[\beta_1^2 \Phi_1'(z_1) + \beta_2^2 \Phi_2'(z_2)] \\ \tau_{xy} &= 2\operatorname{Im}[\beta_1 \Phi_1'(z_1) + \beta_2 \Phi_2'(z_2)] \end{aligned}$$

Подставляя (1.6) и (1.8) в (1.9), получим

$$(1.10) \quad \begin{aligned} \sigma_x^{(1)}(x, y) &= A \int_{-l}^l f'(\xi)(\xi-x) \left[\frac{\beta_1}{(\xi-x)^2 + \beta_1^2 y^2} - \frac{\beta_2}{(\xi-x)^2 + \beta_2^2 y^2} \right] d\xi \\ \tau_{xy}^{(1)}(x, y) &= -A \int_{-l}^l f'(\xi) y \left[\frac{\beta_1}{(\xi-x)^2 + \beta_1^2 y^2} - \frac{\beta_2}{(\xi-x)^2 + \beta_2^2 y^2} \right] d\xi \end{aligned}$$

где $A = \beta_1^2 \beta_2^2 [\pi \beta_{22} (\beta_2^2 - \beta_1^2)]^{-1}$.

Из (1.10) следует, что

$$(1.11) \quad \sigma_x^{(1)}(b, y) = \sigma_x^{(1)}(-b, y) = \frac{1}{2} [\sigma_x^{(1)}(b, y) + \sigma_x^{(1)}(-b, y)]$$

$$\tau_{xy}^{(1)}(b, y) = -\tau_{xy}^{(1)}(-b, y) = \frac{1}{2} [\tau_{xy}^{(1)}(b, y) - \tau_{xy}^{(1)}(-b, y)]$$

Это означает, что нагрузка в задаче 2 для ненадрезанной полосы является симметричной. Решение такой задачи легко получить методом интегральных преобразований аналогично соответствующему решению для изотропной полосы [13]. Применяя к полученным выражениям компонент $\sigma^{(1)}(x, y)$ преобразование Фурье по y с параметром ω , получим для

образов $\Sigma_{ij}(x, \omega)$:

$$(1.12) \quad \Sigma_x(x, \omega) = \pi A \int_{-l}^l f'(\xi) \operatorname{sgn}(\xi - x) \times \\ \times \left[\exp\left(-\frac{|\omega(\xi-x)|}{\beta_1}\right) - \exp\left(-\frac{|\omega(\xi-x)|}{\beta_2}\right) \right] d\xi$$

Из (1.12) с помощью (1.11) представим граничное условие задачи 2 в симметризованной форме

$$\Sigma_x(b, \omega) = -\pi A \int_{-l}^l f'(\xi) \left[\exp\left(\frac{-|\omega|b}{\beta_1}\right) \operatorname{sh} \frac{|\omega|\xi}{\beta_1} - \right. \\ \left. - \exp\left(\frac{-|\omega|b}{\beta_2}\right) \operatorname{sh} \frac{|\omega|\xi}{\beta_2} \right] d\xi$$

Аналогичные вычисления для $\tau_{xy}^{(1)}(x, y)$ дают

$$\Sigma_{xy}(b, \omega) = \pi i A \operatorname{sgn} \omega \int_{-l}^l f'(\xi) \left[\frac{1}{\beta_1} \exp\left(\frac{-|\omega|b}{\beta_1}\right) \operatorname{sh} \frac{|\omega|\xi}{\beta_1} - \right. \\ \left. - \frac{1}{\beta_2} \exp\left(\frac{-|\omega|b}{\beta_2}\right) \operatorname{sh} \frac{|\omega|\xi}{\beta_2} \right] d\xi$$

Решение задачи о ненадрезанной полосе имеет вид

$$(1.13) \quad \Sigma_y(x, \omega) = (\Delta_1 \Sigma_x(b, \omega) + i \Delta_2 \Sigma_{xy}(b, \omega)) \Delta^{-1}$$

где

$$\Delta_1 = \beta_1^{-2} \beta_2^{-1} \operatorname{sh}(\omega b / \beta_2) \operatorname{ch}(\omega x / \beta_1) - \beta_1^{-1} \beta_2^{-2} \operatorname{sh}(\omega b / \beta_1) \operatorname{ch}(\omega x / \beta_2) \\ \Delta_2 = \beta_1^{-2} \operatorname{ch}(\omega b / \beta_2) \operatorname{ch}(\omega x / \beta_1) - \beta_2^{-2} \operatorname{ch}(\omega b / \beta_1) \operatorname{ch}(\omega x / \beta_2) \\ \Delta = \beta_2^{-1} \operatorname{sh}(\omega b / \beta_2) \operatorname{ch}(\omega b / \beta_1) - \beta_1^{-1} \operatorname{sh}(\omega b / \beta_1) \operatorname{ch}(\omega b / \beta_2)$$

Применяя к (1.13) формулу обращения и вводя безразмерные параметры $u = \omega b / \beta_1$, $t = x / l$, $s = \xi / l$, $\lambda = l / b$, $k = \beta_1 / \beta_2$, получим

$$(1.14) \quad \sigma_y^{(2)}(t, 0) = -\frac{\beta_1}{(1+k)\beta_{22}} \int_{-1}^1 f'(sl) K(s, t, \lambda) ds$$

$$(1.15) \quad K(s, t, \lambda) = \int_0^\infty M(s, t, \lambda, u) du$$

$$M(s, t, \lambda, u) = 2\lambda [k(\exp(-u) \operatorname{sh} us\lambda - \exp(-ku) \operatorname{sh} ku s\lambda) \times \\ \times (\operatorname{sh} ku \operatorname{ch} ut\lambda - k \operatorname{sh} u \operatorname{ch} kut\lambda) + (\exp(-u) \operatorname{sh} us\lambda - \\ - k \exp(-ku) \operatorname{sh} ku s\lambda) (\operatorname{ch} ku \operatorname{ch} ut\lambda - k^2 \operatorname{ch} u \operatorname{ch} kut\lambda)] \times \\ \times [(1-k)((1+k) \operatorname{sh}(1+k)u + (1+k) \operatorname{sh}(1-k)u)]^{-1}$$

Подставив (1.7) и (1.14) в условие (1.5) и обозначив $p(x) = pq(t)$, $q(t)$ — безразмерная функция и $g(s) = \beta_1 f'(sl) [\pi \beta_{22} (1+k) p]^{-1}$ получим син-

гулярное интегральное уравнение относительно $g(s)$

$$(1.16) \quad \int_{-1}^1 g(s) \left[\frac{1}{s-t} - K(s, t, \lambda) \right] ds = -q(t)$$

Это уравнение будем решать методом, аналогичным методу, использованному в [4].

Регуляризуем уравнение (1.16) по методу Карлемана [14], применив к обеим частям оператор

$$\varphi(t) = -\frac{1}{\pi^2 \sqrt{1-t^2}} \int_{-1}^1 \frac{\sqrt{1-v^2}}{v-t} \psi(v) dv$$

обратный оператору

$$\psi(t) = \int_{-1}^1 \frac{\varphi(s) ds}{s-t}$$

в результате чего получим для $g(t)$ интегральное уравнение Фредгольма второго рода

$$(1.17) \quad g(t) + \frac{1}{\pi^2 \sqrt{1-t^2}} \int_{-1}^1 g(s) \left[\int_{-1}^1 \frac{\sqrt{1-v^2}}{v-t} K(s, v, \lambda) dv \right] ds = Q(t)$$

где

$$Q(t) = \frac{1}{\pi^2 \sqrt{1-t^2}} \int_{-1}^1 \frac{\sqrt{1-v^2}}{v-t} q(v) dv$$

Разложим $K(s, t, \lambda)$ и $g(t)$ по степеням λ , причем в силу симметрии задачи по x разложение должно идти по четным степеням. Из (1.14) следует, что разложение ядра K начнется с λ^2

$$(1.18) \quad K(s, t, \lambda) = \lambda^2 \sum_{p,q=0}^{\infty} k_{pq} s^{2p+1} t^{2q} \lambda^{2p+2q} = \lambda^2 \sum_{j=0}^{\infty} K_j(s, t) \lambda^{2j}$$

$$K_j(s, t) = \sum_{p=0}^j k_{p,j-p} s^{2p+1} t^{2j-2p}, \quad g(t) = \sum_{i=0}^{\infty} g_i(t) \lambda^{2i}$$

Подстановка (1.18) в (1.17) дает рекуррентное соотношение для $g_i(t)$

$$(1.19) \quad g_0(t) = Q(t), \quad g_i(t) = -\frac{1}{\pi^2 \sqrt{1-t^2}} \times$$

$$\times \sum_{j=0}^{i-1} \left\{ \int_{-1}^1 g_{i-j-1}(s) \left[\int_{-1}^1 \frac{\sqrt{1-v^2}}{v-t} K_j(s, v) dv \right] ds \right\}_{(i=1, 2, \dots)}$$

Из (1.19) следует, что $g(t) = h(t) (1-t^2)^{-\frac{1}{2}}$, $g_i(t) = h_i(t) (1-t^2)^{-\frac{i}{2}}$, где $h(t)$, $h_i(t)$ — функции, регулярные при $|t| \leq 1$. Учитывая (1.18), преобразуем (1.19).

$$(1.20) \quad h_0(t) = \frac{1}{\pi^2} \int_{-1}^1 \frac{\sqrt{1-v^2}}{v-t} q(v) dv$$

$$h_i(t) = -\frac{1}{\pi^2} \sum_{j=0}^{i-1} \sum_{m=0}^{i-1} k_{j-m, m} l_m(t) H_{i-j-1, j-m} \quad (i=1, 2, \dots)$$

где

$$H_{\alpha\beta} = 2 \int_0^{\pi/2} h_\alpha(\sin w) (\sin w)^{2\beta+1} dw, \quad l_m(t) = \int_{-1}^1 \frac{\sqrt{1-v^2}}{v-t} v^{2m} dv$$

Соотношения (1.20) дают возможность сделать расчет тарировочной кривой

$$(1.21) \quad K_I(\lambda) = \sum_{i=0}^{\infty} \lambda^{2i} K_I^{(i)} = K_I^{(0)} \sum_{i=1}^{\infty} \lambda^{2i} N_i, \quad N_i = \frac{K_I^{(i)}}{K_I^{(0)}}$$

Из (1.9) следует, что при $|t| > 1$ функция $\sigma_y(t, 0)$ имеет особенность в точках $|t|=1$

$$(1.22) \quad \sigma_y(t, 0) = p \int_{-1}^1 \frac{h(s) ds}{\sqrt{1-s^2}(s-t)}$$

Подставляя (1.20) в (1.22) и используя определение коэффициента интенсивности напряжений

$$K_I = \lim_{t \rightarrow 1} [\sigma_y(t, 0) \sqrt{2\pi l(t-1)}]$$

получим выражения для коэффициентов ряда (1.21)

$$(1.23) \quad K_I^{(0)} = p \sqrt{\frac{l}{\pi}} \int_{-1}^1 \sqrt{\frac{1+v}{1-v}} q(v) dv \quad (i=1, 2, \dots)$$

$$K_I^{(i)} = -p \sqrt{\pi l} \sum_{j=0}^{i-1} \sum_{m=0}^j k_{j-m, m} H_{i-j-1, j-m} \frac{(2m)!}{2^{2m} (m!)^2}$$

Для вычисления коэффициентов k_{pq} можно в силу равномерной сходимости интеграла (1.15) провести разложение подынтегральной функции в ряд по s и t , который затем почленно проинтегрировать

$$(1.24) \quad k_{pq} = \int_0^\infty m_{pq} du, \quad M(s, t, \lambda, u) = \sum_{p,q=0}^{\infty} m_{pq} s^{2p+1} t^{2q} \lambda^{2p+2q+1}$$

$$[k(\exp(-u) - k^{2p+1} \exp(-ku)) (\sinh ku - k^{2q+1} \sinh u) +$$

$$m_{pq} = \frac{2}{4-k} \frac{+ (\exp(-u) - k^{2p+2} \exp(-ku)) (\cosh ku - k^{2q+2} \cosh u)] u^{2p+2q+1}}{[(1-k) \sinh(1+k)u + (1+k) \sinh(1-k)u] (2p+1)!(2q)!}$$

Зная упругие постоянные k_{pq} материала, можно с помощью соотношений (1.20) и (1.23) рассчитать зависимость $K_I(\lambda)$ для любого вида симметричной по x нагрузки $p(x)$, причем k_{pq} зависит только от одной упругой константы $k = \beta_1/\beta_2$ ($0 < k \leq 1$). Отметим, что K_I зависит от упругих свойств материала также только через k ($K_I^{(0)}$ — коэффициент интенсивности напряжений для бесконечного тела от упругих свойств, естественно, не зависит [7]). Указанное свойство делает практически возможным

исследование влияния анизотропии материала на K_1 для всего класса ортотропных материалов.

Подробные расчеты проводились для двух важных видов нагружения — равномерной нагрузки и сосредоточенной силы.

В случае $p(x) = p_0 = \text{const}$

$$K_1^{(0)} = p_0 \sqrt{\pi l}, \quad N_1 = k_{00}/2, \quad N_2 = \frac{1}{8} [2k_{00}^2 + 3k_{10} + 2k_{01}]$$

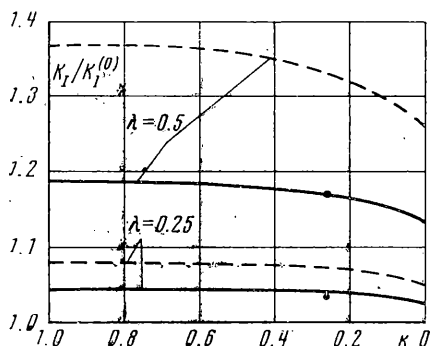
$$N_3 = \frac{1}{16} [2k_{00}^3 + 6k_{10}k_{00} + 3k_{01}k_{00} + 5k_{20} + 3k_{11} + 3k_{02}]$$

В случае сосредоточенной силы $p(x) = P\delta(0)/l$

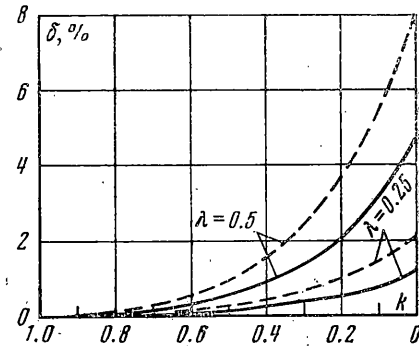
$$K_1^{(0)} = P/\sqrt{\pi l}, \quad N_1 = k_{00}, \quad N_2 = \frac{1}{2} [k_{00}^2 + k_{10} + k_{01}]$$

$$N_3 = \frac{1}{8} [2k_{00}^3 + 5k_{10}k_{00} + 3k_{01}k_{00} + 3k_{20} + 2k_{11} + 3k_{02}]$$

Ограничимся тремя членами тарировочного ряда. В предположении [3] о поведении его коэффициентов погрешность в вычислении K_1 не превышает 0.3% при $\lambda \leq 0.5$ для рассмотренных случаев.



Фиг. 2



Фиг. 3

В табл. 1 даны величины N_i для случая равномерной нагрузки при различных значениях k , в табл. 2 — то же для случая сосредоточенной силы. Несмотря на то, что коэффициенты k_{pq} значительно меняются с изменением k , величины $K_1^{(i)}$ меняются мало.

На фиг. 2 приведены графики зависимостей $K_1(k)$ при $\lambda=0.25$ и $\lambda=0.5$ — для равномерной нагрузки — сплошная линия и сосредоточенной силы — пунктирная. Они показывают слабую зависимость K_1 от степени анизотропии.

Таблица 1

k	0.01	0.06	0.1	0.2	0.3	0.4	0.5
N_1	0.447	0.446	0.469	0.507	0.536	0.556	0.572
N_2	0.329	0.364	0.386	0.426	0.450	0.461	0.471
N_3	0.282	0.317	0.337	0.368	0.382	0.386	0.392
k	0.6	0.7	0.8	0.9	0.99	1 [3, 4]	
N_1	0.582	0.588	0.592	0.594	0.595	0.595	
N_2	0.476	0.478	0.480	0.481	0.481	0.481	
N_3	0.394	0.395	0.396	0.396	0.396	0.396	

тропии. На этой же фигуре точками отмечены значения, полученные в работе [7]. На фиг. 3 даны графики относительной погрешности δ , получающейся при использовании изотропной тарировки для ортотропного материала.

Вычисленные по литературным данным значения k для ряда распространенных анизотропных материалов лежат в следующих пределах: древесина 0.2–0.5 [7, 11, 15], стеклопластик 0.25–0.3 [15, 16], углепластик 0.1–0.2 [15, 17]. Эти величины получены для плоского напряженного состояния, при переходе к плоской деформации значение k несколько изменяется (для углепластика [17], например, с 0.17 до 0.15).

Таким образом, согласно фиг. 2, видно, что применение изотропной тарировки для случая равномерной нагрузки даст ошибку при $\lambda \leq 0.25$ для

Таблица 2

k	0.01	0.06	0.1	0.2	0.3	0.4	0.5
N_1	0.835	0.891	0.932	1.014	1.073	1.112	1.144
N_2	0.624	0.691	0.735	0.815	0.863	0.888	0.910
N_3	0.500	0.564	0.600	0.649	0.666	0.666	0.670
k	0.6	0.7	0.8	0.9	0.99	1 [4]	
N_1	1.164	1.177	1.184	1.188	1.190	1.190	
N_2	0.921	0.928	0.932	0.933	0.934	0.934	
N_3	0.669	0.668	0.667	0.666	0.666	—	

древесины и стеклопластика менее 0.6 %, для углепластика от 0.5 % до 1 %, а при $\lambda \leq 0.5$ соответственно менее 2.2 % и от 2.2 % до 3.3 %.

Приведенные данные дают основания для использования изотропной K -тарировки при вычислении коэффициента интенсивности напряжений даже для сильно анизотропных материалов. В практическом отношении применение изотропной тарировки проще анизотропной, так как при этом не требуется знания полной системы упругих констант материала.

Поступила 5 X 1973

ЛИТЕРАТУРА

1. Irwin G. B. Analysis of stresses and strains near the end of a crack traversing a plate. J. Appl. Mech., 1957, vol. 24, No. 3.
2. Баренблatt Г. И., Черепанов Г. П. О влиянии границ тела на развитие трещин хрупкого разрушения. Изв. АН СССР. ОТН. Механика и машиностроение, 1960, № 3.
3. Isida M. Stress intensity factors for tension of an eccentrically cracked strip. Trans. ASME, Ser. E. J. Appl. Mech., 1966, vol. 33, No. 3.
4. Гольдштейн Р. В., Рыское И. Н., Салганик Р. Л. Центральная поперечная трещина в упругой полосе. Изв. АН СССР. МТТ, 1969, № 4.
5. Bueckner H. F. Weight function for the notched bar. Z. angew. Math. und Mech., 1971, Bd 51, N 2.
6. Hayes D. J. A practical application of Bueckner's formulation for determining stress intensity factors for cracked bodies. Internat. J. Fracture Mech., 1972, vol. 8, No. 2.
7. Walsh P. F. Linear fracture mechanics in orthotropic materials. Engng Fracture Mech., 1972, vol. 4, No. 3.
8. Bowie O. L., Neal D. M. A note on the central crack in a uniformly stressed strip. Engng Fracture Mech., 1970, vol. 2, No. 2.
9. Bowie O. L., Freese C. E. Central crack in plane orthotropic rectangular sheet. Internat. J. Fracture Mech., 1972, vol. 8, No. 1.

10. *Wilson W. K.* Numerical method for determining stress intensity factors of an interior crack in a finite plate. Trans. ASME, Ser. D. J. Basic Engng, 1971, vol. 93, No. 4.
11. *Лехницкий С. Г.* Теория упругости анизотропного тела. М.—Л., Гостехиздат, 1950.
12. *Галин Л. А.* Контактные задачи теории упругости. М.—Л., Гостехиздат, 1953.
13. *Уфлянд Я. С.* Интегральные преобразования в задачах теории упругости. М.—Л., Изд-во АН СССР, 1963.
14. *Муселишвили Н. И.* Сингулярные интегральные уравнения. М., «Наука», 1968.
15. *Harrison N. L.* Strain energy release rate for turning cracks. Fibre Sci. and Technology, 1972, vol. 5, No. 3.
16. *Gandhi K. R.* Analysis of an inclined crack centrally placed in an orthotropic rectangular plate. J. Strain Analysis, 1972, vol. 7, No. 3.
17. *Kelly A.* Interface effects and the work of fracture of a fibrous composite. Proc. Roy. Soc. London A, 1970, No. 319.